

## ZADANIE 1

### Komparator szeregowy 2 liczb

Specyfikacja wymagań dla układu

Bity podawane na wejściu od najmniej znaczącego bitu

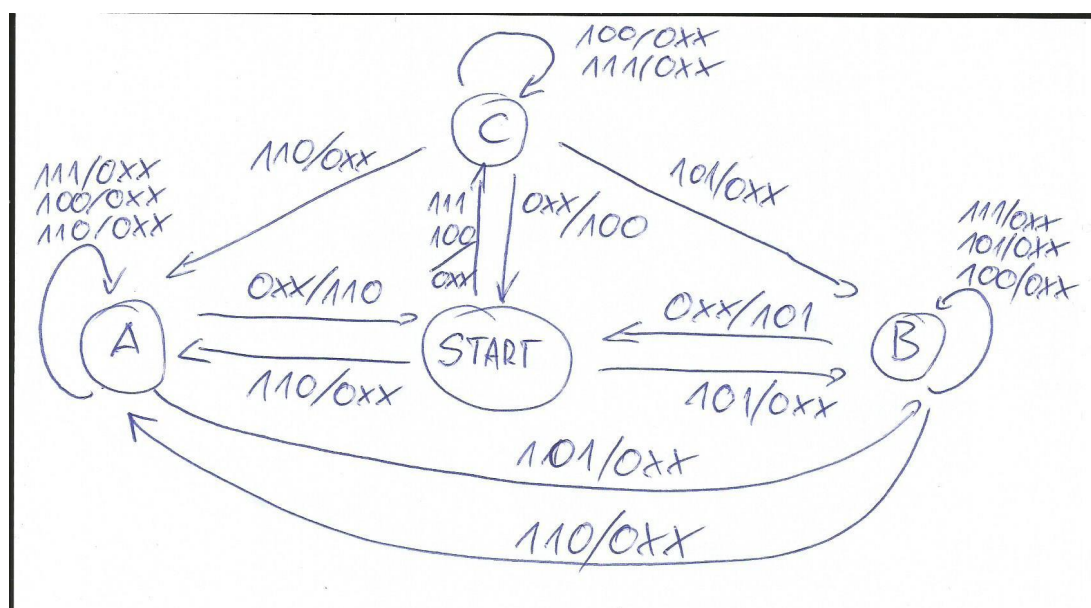
Wejścia od najstarszego: liczba, bitA, bitB

Wyjścia od najstarszego: wynik, A>B, B>A

Liczba=1 oznacza podawanie kolejnych bitów próbkowanych zgodnie z taktem sygnału zegarowego,

Liczba=0 oznacza, że ostatni bit został podany i należy wygenerować wynik (dostępny w czasie trwania jednego stanu), a następnie przejść do analizy kolejnej liczby.

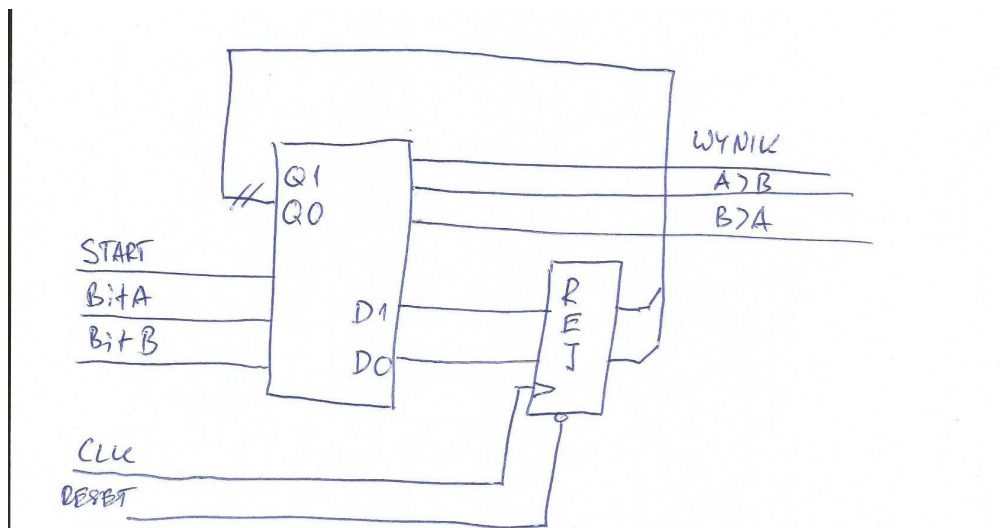
### Automat typu Mealy'ego



Rys.1 Graf stanów automatu „komparator szeregowy” typu Mealy'ego

| Stan/wejścia | 000   | 001   | 010   | 011   | 100 | 101 | 110 | 111 |
|--------------|-------|-------|-------|-------|-----|-----|-----|-----|
| start        | start | start | start | start | C   | B   | A   | C   |
| A            | start | start | start | start | A   | B   | A   | A   |
| B            | start | start | start | start | B   | B   | A   | B   |
| C            | start | start | start | start | C   | B   | A   | C   |
| Stan/wyjścia |       |       |       |       |     |     |     |     |
| Start        | 0--   | 0--   | 0--   | 0--   | 0-- | 0-- | 0-- | 0-- |
| A            | 110   | 110   | 110   | 110   | 0-- | 0-- | 0-- | 0-- |
| B            | 101   | 101   | 101   | 101   | 0-- | 0-- | 0-- | 0-- |
| C            | 100   | 100   | 100   | 100   | 0-- | 0-- | 0-- | 0-- |

Tab.1 Tablica przejść i wyjść automatu „komparator szeregowy” typu Mealy'ego



Rys.2 Realizacja automatu „komparator szeregowy” typu Mealy’ego

| Stan  | Kod (Q1,Q0) |
|-------|-------------|
| Start | 00          |
| A     | 01          |
| B     | 11          |
| C     | 10          |

Tab. 2 Kodowanie stanów „komparator szeregowy” typu Mealy’ego

| Stan/wejścia | 000 | 001 | 010 | 011 | 100 | 101 | 110 | 111 |
|--------------|-----|-----|-----|-----|-----|-----|-----|-----|
| 00           | 00  | 00  | 00  | 00  | 10  | 11  | 01  | 10  |
| 01           | 00  | 00  | 00  | 00  | 01  | 11  | 01  | 01  |
| 11           | 00  | 00  | 00  | 00  | 11  | 11  | 01  | 11  |
| 10           | 00  | 00  | 00  | 00  | 10  | 11  | 01  | 10  |
| Stan/wyjścia |     |     |     |     |     |     |     |     |
| 00           | 0-- | 0-- | 0-- | 0-- | 0-- | 0-- | 0-- | 0-- |
| 01           | 110 | 110 | 110 | 110 | 0-- | 0-- | 0-- | 0-- |
| 11           | 101 | 101 | 101 | 101 | 0-- | 0-- | 0-- | 0-- |
| 10           | 100 | 100 | 100 | 100 | 0-- | 0-- | 0-- | 0-- |

Tab.3 Kodowana tablica przejść i wyjść automatu „komparator szeregowy” typu Mealy’ego

Funkcje Wzbudzeń i wyjść (wejścia podano w kolejności od najwyższej wagi):

$$D1(Q1,Q0,liczba,bitA,bitB)=\sum(4,5,7,13,20,21,23,28,29,31)$$

$$D0(Q1,Q0,liczba,bitA,bitB)=\sum(5,6,12-15,21,22,28-31)$$

$$Wynik(Q1,Q0,liczba,bitA,bitB)=\sum(8-11,24-27,16-19)$$

$$A>B(Q1,Q0,liczba,bitA,bitB)=\sum(8-11)+d(0-7,12-15,20-23,28-31)$$

$$B>A(Q1,Q0,liczba,bitA,bitB)=\sum(24-27)+d(0-7,12-15,20-23,28-31)$$

Zawartość ROM dla implementacji automatu „komparator szeregowy” typu Mealy’ego

Adresy=(Q1,Q0,liczba,bita,bitB)

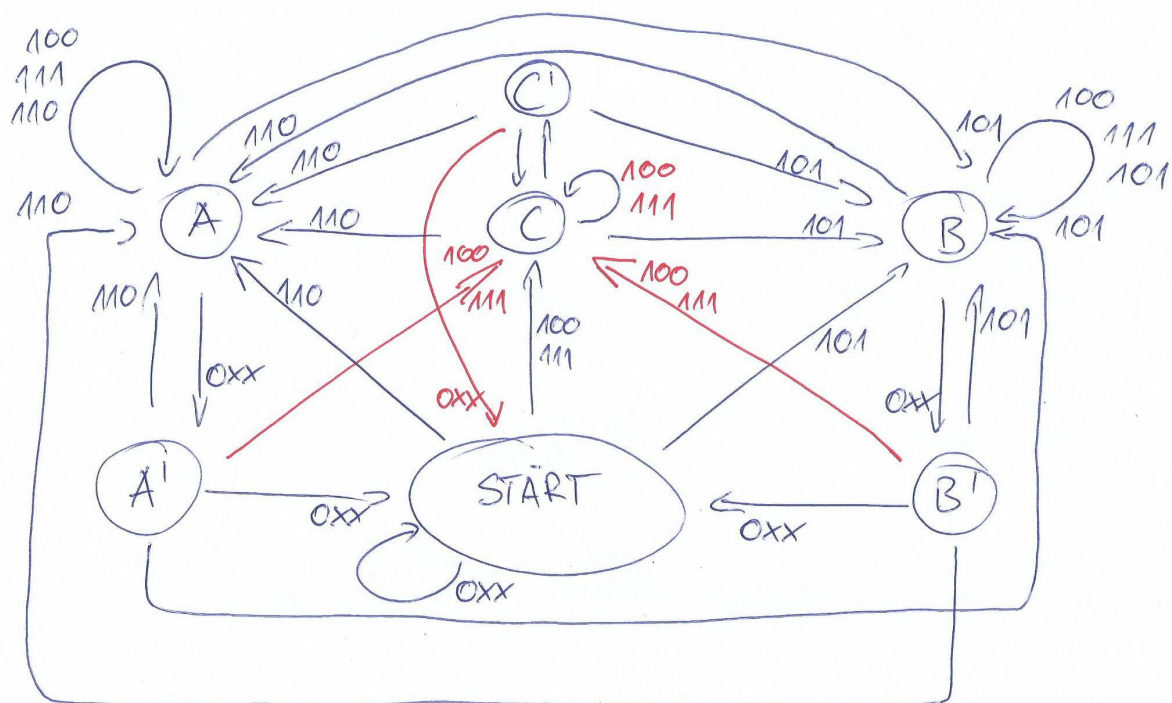
Dane=(D1,D0,Wynik,A>B,B>A)

| Adres | Dane  |
|-------|-------|
| 0-3   | 000-- |
| 4     | 100-- |
| 5     | 110-- |
| 6     | 010-- |
| 7     | 100-- |
| 8-11  | 00110 |
| 12    | 010-- |
| 13    | 110-- |
| 14    | 010-- |
| 15    | 010-- |
| 16-19 | 00100 |
| 20    | 100-- |
| 21    | 110-- |
| 22    | 010-- |
| 23    | 100-- |
| 24-27 | 00101 |
| 28    | 110-- |
| 29    | 110-- |
| 30    | 010-- |
| 31    | 110-- |

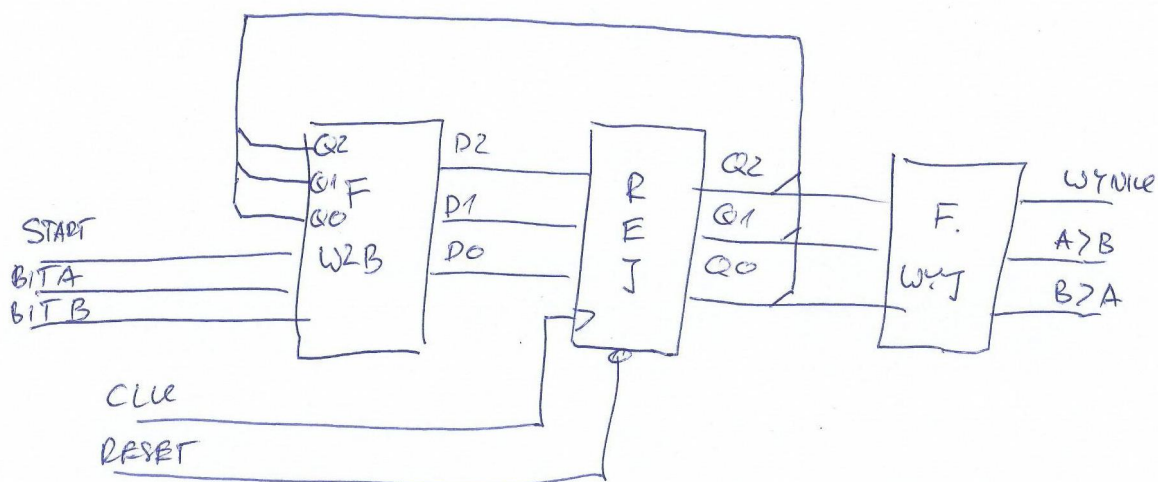
Tab.4 Zawartość pamięci dla implementacji automatu „komparator szeregowy” typu Mealy’ego, „–” oznacza wartość dowolną

### Automat Moore’a

Komparator szeregowy 2 liczb (ta sama specyfikacja)



Rys.3 Graf stanów automatu „komparator szeregowy” typu Moore’a, X oznacza stan dowolny wejścia



Rys4. Realizacja automatu „komparator szeregowy” typu Moora

| Stan/wejście | 000   | 001   | 010   | 011   | 100 | 101 | 110 | 111 | WYJŚCIA |
|--------------|-------|-------|-------|-------|-----|-----|-----|-----|---------|
| Start        | Start | Start | Start | Start | C   | B   | A   | C   | 0--     |
| A            | A'    | A'    | A'    | A'    | A   | B   | A   | A   | 0--     |
| B            | B'    | B'    | B'    | B'    | B   | B   | A   | B   | 0--     |
| C            | C'    | C'    | C'    | C'    | C   | B   | A   | C   | 0--     |
| A'           | Start | Start | Start | Start | C   | B   | A   | C   | 110     |
| B'           | Start | Start | Start | Start | C   | B   | A   | C   | 101     |
| C'           | Start | Start | Start | Start | C   | B   | A   | C   | 100     |

Tab.5 Kodowana tablica przejść i wyjść automatu „komparator szeregowy” typu Moore’a

| Stan  | Kod (Q2,Q1,Q0) |
|-------|----------------|
| Start | 000            |
| A     | 001            |
| B     | 011            |
| C     | 010            |
| A'    | 110            |
| B'    | 111            |
| C'    | 101            |

Tab. 6 Kodowanie stanów „komparator szeregowy” typu Moore’a

| Stan/wejście | 000 | 001 | 010 | 011 | 100 | 101 | 110 | 111 | WYJŚCIA |
|--------------|-----|-----|-----|-----|-----|-----|-----|-----|---------|
| 000          | 000 | 000 | 000 | 000 | 010 | 011 | 001 | 010 | 0--     |
| 001          | 110 | 110 | 110 | 110 | 001 | 011 | 001 | 001 | 0--     |
| 011          | 111 | 111 | 111 | 111 | 011 | 011 | 001 | 011 | 0--     |
| 010          | 101 | 101 | 101 | 101 | 010 | 011 | 001 | 010 | 0--     |
| 110          | 000 | 000 | 000 | 000 | 010 | 011 | 001 | 010 | 110     |
| 111          | 000 | 000 | 000 | 000 | 010 | 011 | 001 | 010 | 101     |
| 101          | 000 | 000 | 000 | 000 | 010 | 011 | 001 | 010 | 100     |

Tab.7 Zakodowana tablica przejść i wyjść automatu „komparator szeregowy” typu Moore’a

Funkcje Wzbudzeń i Wyjść automatu „komparator szeregowy” typu Moore’a (wejścia podano w kolejności od najwyższej wagi):

$$D2(Q2,Q1,Q0,liczba,bitA,bitB)=\sum(8-11,16-19,24-27)+d(32-39)$$

$$D1(Q2,Q1,Q0,liczba,bitA,bitB)=\sum(5,7,8-13,21,23,24-29,31,45,47,53,57,61,63)+d(32-39)$$

$$D0(Q2,Q1,Q0,liczba,bitA,bitB)=\sum(5-6,12-19,21-22,24-31,45-46,53-54,61-62)+d(32-39)$$

$$\text{Wynik}(Q2, Q1, Q0) = \sum(5-7) + d(4)$$

$$A > B(Q2, Q1, Q0) = \sum(6) + d(0-4)$$

$$B > A(Q2, Q1, Q0) = \sum(7) + d(0-4)$$

Zawartości ROM (częściowa) dla implementacji automatu „komparator szeregowy” typu Mealy’ego

Adresy=(Q2Q1,Q0,liczba,bita,bitB)

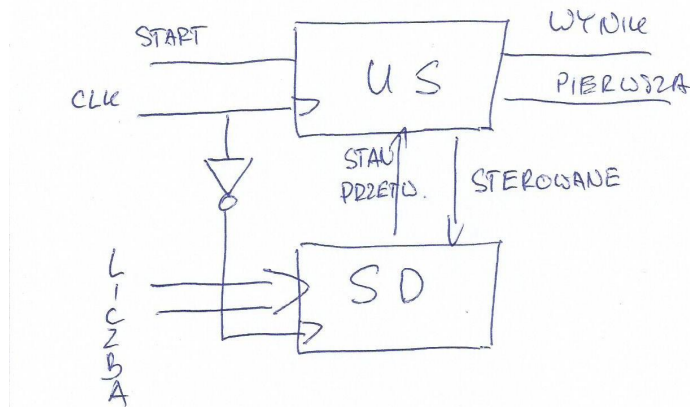
Dane=(D2,D1,D0,Wynik,A>B,B>A)

| Adres  | Dane   |
|--------|--------|
| 0000-- | 0000-- |
| 000100 | 0100-- |
| 000101 | 0110-- |
| 000110 | 0010-- |
| 000111 | 0100-- |
| ...    | ...    |
| 1100-- | 000110 |
| 110100 | 010110 |
| 110101 | 011110 |
| 110110 | 001110 |
| 110111 | 010110 |
| 1110-- | 000101 |
| 111100 | 010101 |
| 111101 | 011101 |
| 111110 | 001101 |
| 111111 | 010101 |

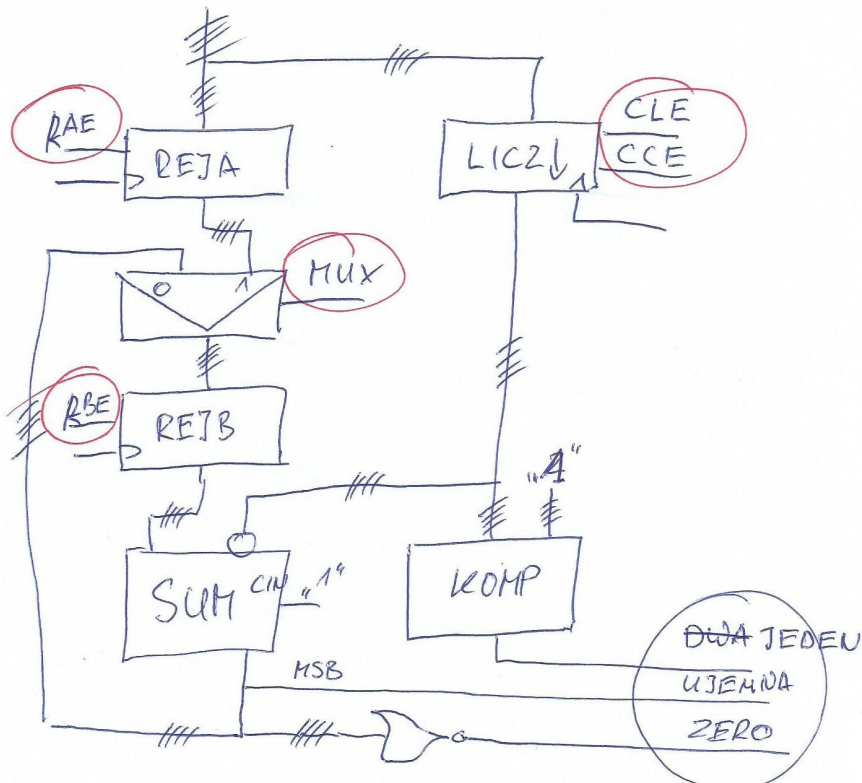
Tab.8 Zawartość pamięci dla implementacji automatu „komparator szeregowy” typu Moore’a, ” – „ oznacza wartość dowolną

### TEST LICZBY PIERWSZEJ

Układ cyfrowy testujący liczbę, podaje poprawnie wynik dla liczb  $\geq 2$ , po zbadaniu liczby na wyjściu pojawi się sygnał WYNIK=1 i Pierwsza=1 gdy liczba jest pierwsza lub WYNIK=1 i Pierwsza=0 gdy liczba jest złożona.



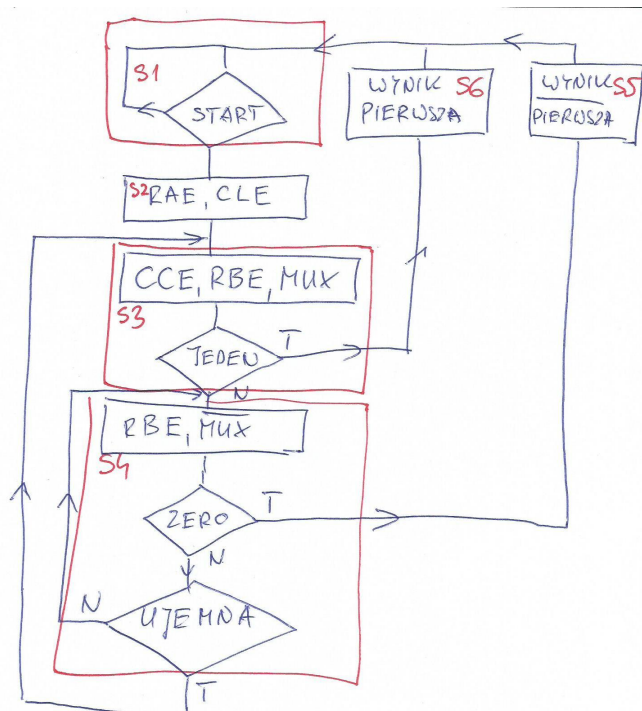
Rys.5 Schemat struktury układu do testu liczby pierwszej (układ sterowania i ścieżka danych)



Rys. 6 Schemat układu operacyjnego do testu liczby pierwszej (układ sterowania i ścieżka danych), w czerwonych okręgach sygnały sterujące, w niebieskim okręgu - stan przetwarzania, wejście danych z góry.

Sygnały sterujące: RAE, CLE, CCE, RBE, MUX

Sygnały stanu: JEDEU, UJEMNA, ZERO



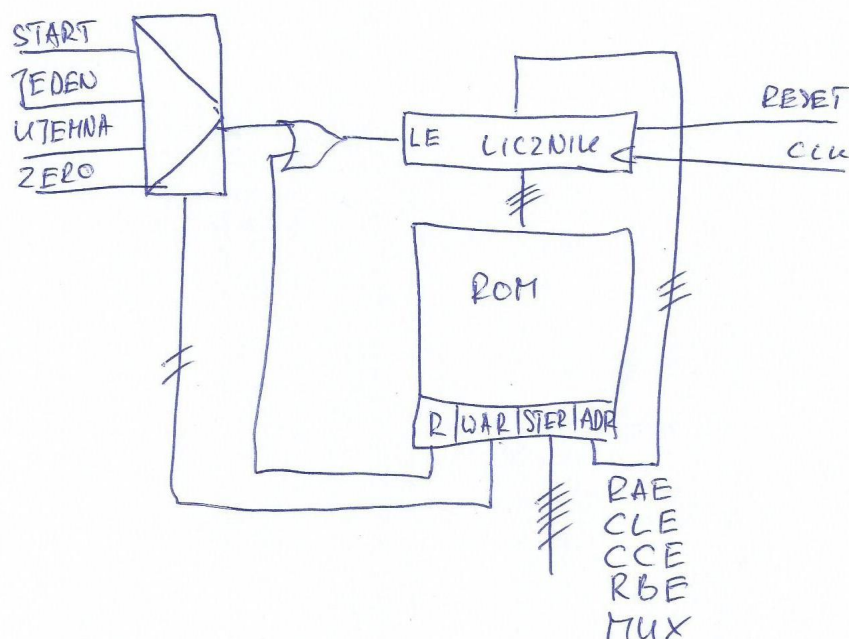
Rys. 7 Diagram ASM układ sterowania dla układu testowania liczby pierwszej, wyodrębniono 6 stanów niezbędnych do realizacji oddzielnych kroków sterowania układem wykonawczym i obsługi sygnałów, wejściowych i wyjściowych.

Stan S2 odpowiada za pobranie danych z wejścia układu.

Stan S3 odpowiada za wygenerowanie nowego dzielnika, przywrócenie w rejestrze B dzielnej i test zakresu dzielników.

Stan S4 odpowiada za:

- zapisanie wyniku odejmowania jako etapu dzielenia,
- test zakończenia dzielenia z resztą (UJEMNA) lub bez reszty (ZERO).



Rys.8 Układ mikroprogramowalny dla układu sterowania testowania liczby pierwszej, pole sterowanie zawiera sygnały sterujące i wyjściowe, pole R zawiera kod typu rozkazu.



Układ sterowania wykonany w oparciu o układ mikroprogramowalny implementuje dwa rozkazy:

- Skoku bezwarunkowego R=1 i
- Skoku warunkowego lub przejścia do następnego rozkazu R=0.

Program realizacji układu sterującego składa się z kolejnych rozkazów (z parametrami) umieszczonych w Tab9

| Adres pamięci | stan | R | War.     | Nr War. | Stan Nast. | Dane pamięci, znaczenie, kolejnych pól R,warunek, sterowanie, wynik,pierwsza, adres, |
|---------------|------|---|----------|---------|------------|--|
| 000           | S1   | 0 | Start'   | 0       | S1         | 0, 00,00000,0,0,000  |
| 001           | S2   | 1 |          | --      | S3         | 1,--,1100-,0,0,010   |
| 010           | S3   | 0 | jedyńska | 1       | S6         | 0,01,00111,0,0,110   |
| 011           | S4   | 0 | ujemna   | 2       | S3         | 0,10,00010,0,0,010   |
| 100           | S4A  | 0 | Zero'    | 3       | S4         | 0,11,00000,0,0,011   |
| 101           | S5   | 1 |          | --      | S1         | 1,--,00000,1,0,000   |
| 110           | S6   | 1 |          | --      | S1         | 1,--,00000,1,1,000   |

Tab.9 Program układu mikroprogramowalnego dla „testowania liczby pierwszej”

Ze względu na możliwości układu testowania w stanie tylko jednego warunku, stan S4 jest realizowany za pomocą dwóch kolejnych rozkazów: testowania kolejno sygnału UJEMNA, a następnie sygnału ZERO'.

#### Analiza parametrów czasowych układu „testowania liczby pierwszej „

Zakładamy sterowanie US i SD przeciwnymi fazami zegara pokazane na Rys. 5 i wypełnienie sygnału zegarowego równe ½.

Czas wyprzedzenia układu sterowania dla sygnałów stanu przetwarzania Tsus

$T_{sus} = T_{sp} + T_{pmux\_d} + T_b$  (czas wyprzedzenia przerzutnika, czas propagacji multipleksera dla danych, czas propagacji bramki)

Czas propagacji układu sterowania: Tpus

$T_{pus} = T_{pp} + T_{aa}$  (czas propagacji przerzutnika i czas dostępu od adresu dla pamięci)

Dla poprawnego uwzględnienia gotowych warunków w multiplekserze konieczne jest uwzględnienie propagacji od adresu multipleksera (wyznaczonego przez układ sterujący):

$T_{clk} > T_{pus} + T_{pmux\_a} + T_{pb} + T_{sp}$

Analiza zależności czasowych dla układu wykonawczego:

**Stan 2** Zapis danych wejściowych poprawny gdy spełnione będą wymagania czasu wyprzedzenia rejestru Tsrs i licznika Tscs względem zegara dla sygnałów sterujących:

$1/2T_{clk} > T_{pus} + T_{srs}$

$1/2T_{clk} > T_{pus} + T_{scs}$

**Stan 3** Zapis danych wejściowych i zliczanie licznika poprawne, gdy spełnione będą wymagania czasu wyprzedzenia rejestru Tsrs i licznika Tscs względem zegara dla sygnałów sterujących:

$1/2T_{clk} > T_{pus} + T_{srs}$

$1/2T_{clk} > T_{pus} + T_{scs}$

**Stan 3** Zapis danych do rejestru poprawny gdy dane będą dostępne na wejściu rejestru przed czasem wyprzedzenia danych rejestru Tsr

$1/2T_{clk} > T_{pus} + T_{pmux} + T_{sr}$  (czas propagacji multipleksera)



**Stan 3** Próbkowanie sygnału JEDNYKA poprawne gdy będzie on dostępny dla układu sterowania: czas propagacji licznika ( $T_{pc}$ ), czas propagacji komparatora ( $T_{pk}$ ):

$$1/2T_{clk} > T_{pc} + T_{pk} + T_{sus}$$

**Stan 4** Zapis danych do rejestru poprawny gdy dane będą dostępne na wejściu rejestru przed czasem wyprzedzenia danych rejestru  $T_{sr}$

$$1/2T_{clk} > T_{pus} + T_{pmux} + T_{sr} \quad (\text{czas propagacji multiplexera})$$

**Stan 4** Zapis danych wejściowych do rejestru poprawne, gdy spełnione będą wymagania czasu wyprzedzenia rejestru  $T_{rs}$  względem zegara dla sygnałów sterujących:

$$1/2T_{clk} > T_{pus} + T_{rs}$$

Zakładając, że w układzie wykonawczym (realizacja mikroprogramowalna) testowany jest pierw sygnał UJEMNA jego wyznaczenie będzie wąskim gardłem dla zależności czasowych przy realizacji tego stanu. Próbkowanie sygnału UJEMNA poprawne gdy będzie on dostępny dla układu sterowania: czas propagacji rejestru ( $T_{pr}$ ), czas propagacji sumatora ( $T_{ps}$ ):

$$1/2T_{clk} > T_{pr} + T_{ps} + T_{sus}$$

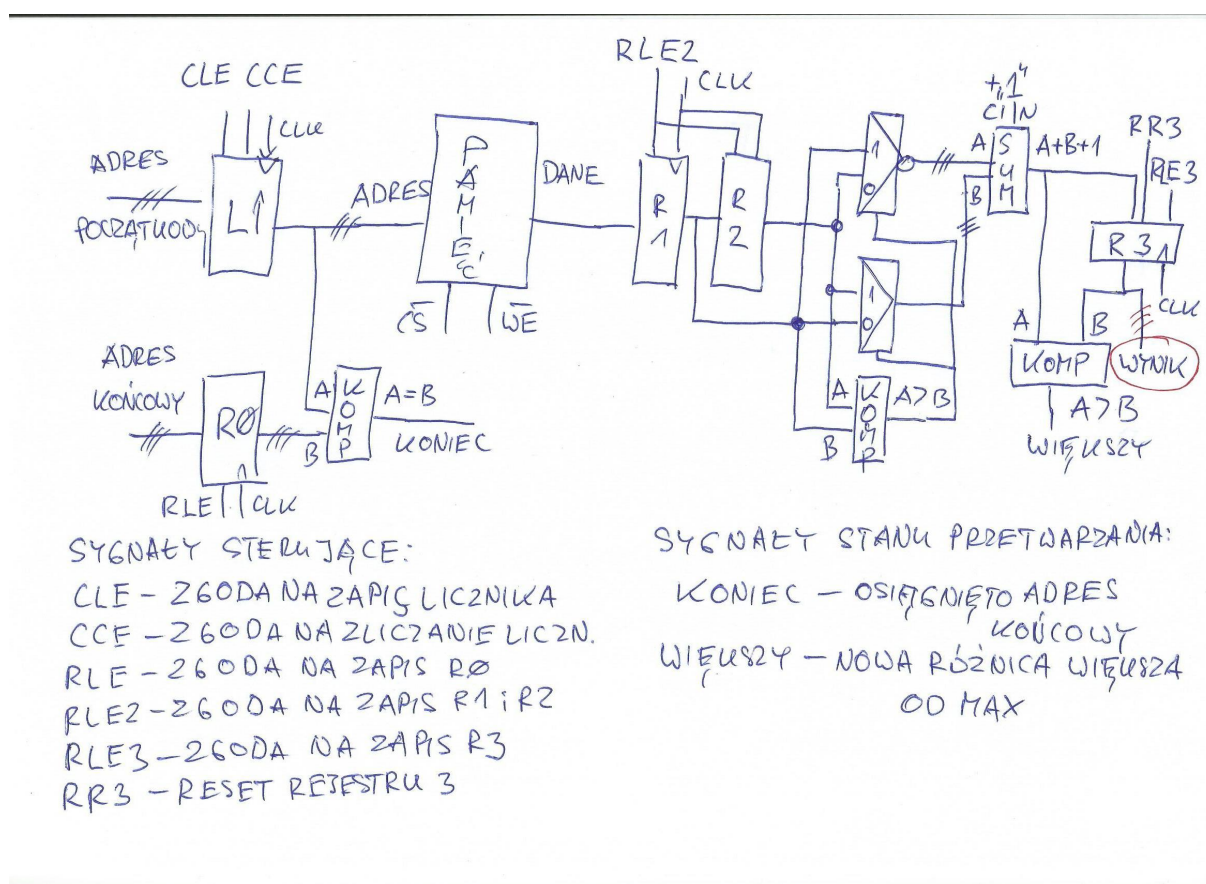
Testowanie sygnału ZERO realizowane w kolejnym takcie nie wprowadza dodatkowych wymagań.

## PODSUMOWANIE

Powyższe warunki stanowią wymagania na prędkość taktowania układów wykonawczego i sterującego.

## TEST ZAWARTOŚCI PAMIĘCI

Proszę znaleźć w pamięci od adresu podanego jako adres startowy do adresu podanego jako adres końcowy maksymalną wartość spośród wartości bezwzględnych różnic kolejnych liczb zapisanych na kolejnych adresach, np. dla danych 5,7,3,0 wynik wynosi 4.



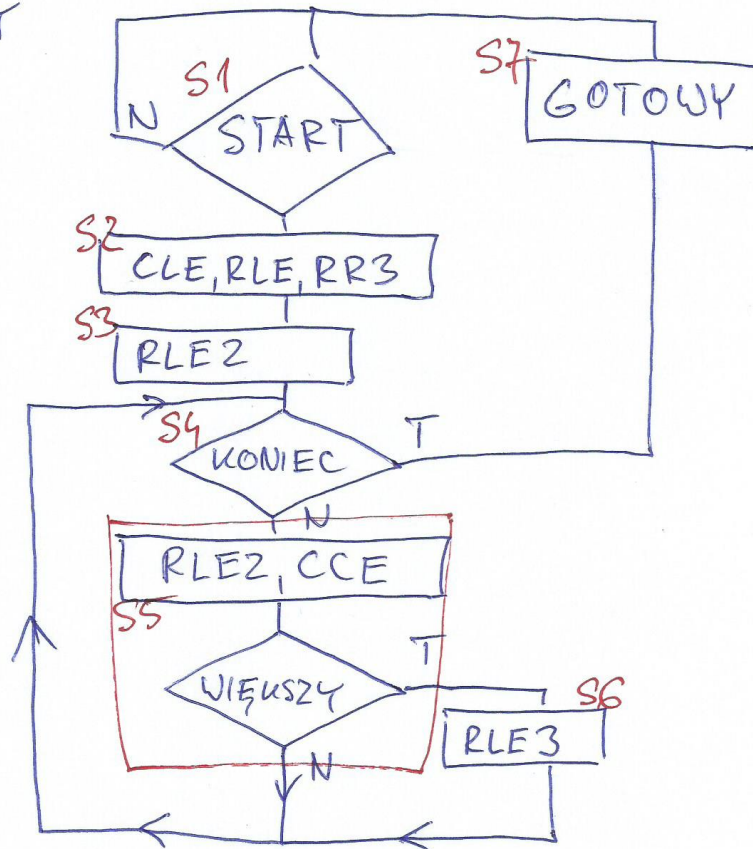
Rys 9. Schemat układu wykonawczego dla układu przeszukiwania pamięci.

### SYGNAŁY WEJŚCIOWE:

- START
- ADRES POZĄTKU PAMIĘCI
- ADRES KONCA PAMIĘCI

### SYGNAŁY WYJŚCIOWE

- WYNIK
- GOTOWY



S2 PRZYGOTOWANIE UKŁADU

S3 ŁADOWANIE PIERWSZEJ WARTOŚCI Z PAM

S4 SPRAWDZANIE KONCA ZAKRESU

S5 ŁADOWANIE KOLEJNEJ WARTOŚCI, TEST KONCA

S6 ŁADOWANIE MAX DOREJ. WYJ.

Rys 10. Diagram ASM układu sterującego dla układu przeszukiwania pamięci.